

金属材料与热处理译丛

不锈钢热处理

2

上海市科学技术编译馆

模具热处理 新书预告

本书分第(1)、(2)两辑出版。

第(1)辑于12月出版,定价1.20元。内容着重介绍国外深冲、压铸、锻压模具钢及其最佳热处理规范的选择,高碳高铬模具钢的氮化,工具钢在热处理中的变形以及新的表面硬化法等,附有常用冷变形、热变形模具钢金相图■130余张,并有说明。

第(2)辑于1966年4月出版,估价1.20元。内容着重介绍冷冲、冷锻、挤压、热作模具钢材的选择及其热处理工艺。介绍软氮化、氯化、镀镍等表面强化处理。介绍模具钢硬度对形成热疲劳裂纹的影响。最后附有美国、德国、日本、苏联及我国的模具钢标准及其用途等表格20余张,可供读者对照查阅。

全国各地新华书店订购。如当地不能供应,请径向上海南昌路59号本馆邮购
(银行帐号:卢湾区办淮二分理处5134121)。

上海市科学技术编译馆

1965年11月

金属材料与热处理译丛
(总第十三辑)

不锈钢热处理(2)

金属材料与热处理译丛编译委员会编

*
上海市科学技术编译馆出版
(上海南昌路59号)

上海新华印刷厂印刷 新华书店上海发行所发行

*
开本787×1092 1/16 印张6 4/16 字数200,000
1965年11月第1版 1965年11月第1次印刷
印数1—5,000

编号 15·323 定价(科七)0.90元

目 录

热处理对不锈钢冷脆性的影响.....	[苏联].....	1
AK ₁ (Cr13)钢脆性的探讨	[捷克斯洛伐克].....	4
3X13 钢制螺旋弹簧	[苏联].....	11
4X13 钢加热时重结晶的规律性	[苏联].....	15
以不锈钢 X22CrNi17 制造模压件的經驗	[民主德国].....	23
ДИ-1 与 X17H2 钢疲劳强度的研究.....	[苏联].....	30
1X18H9T 冷拉不锈钢的再结晶	[苏联].....	32
1X18H9T 钢电焊钢管的热处理	[苏联].....	35
热处理温度对 1X18H9T 钢管晶间腐蚀倾向的影响	[苏联].....	39
304 型不锈钢晶界碳化物的形态及其对晶间腐蚀的影响.....	[美国].....	41
含铬约 17% 的不锈钢在沸腾浓硝酸中的抗腐蚀性能与热处理的关系	[西德].....	53
化学设备与管道制造中采用镍铬钢的腐蚀研究.....	[瑞士].....	65
铬不锈钢的渗碳.....	[编译].....	71
氮化处理对低铬-18 铬不锈钢性能的影响	[日本].....	75
高铬不锈钢氮化前的准备工作.....	[编译].....	77
一种新型的超高强度不锈钢	[日本].....	78
美国 AISI 不锈钢标准.....	82
不锈钢的性能		
不锈钢——铬镍奥氏体不锈钢		
不锈钢——沉淀硬化不锈钢		
苏联不锈钢及耐酸钢标准.....	91
防腐蚀和耐热的不锈钢主要成份		
在室温和高温下铬钢的特性		
在室温和高温下耐热镍铬不锈		
德国常用不锈钢标准.....	96
日本 JIS 不锈钢标准	100
日本奥氏体不锈钢标准 JIS		
马氏体不锈钢的化学成份 JIS	01
AISI 马氏体不锈钢的化学成份		
马氏体不锈钢的机械性能 JIS 标准 14301		
铁素体不锈钢的机械性能(JIS 标准)		

热处理对不锈钢冷脆性的影响

[苏联] Л. Б. Гецов 等

透平冷气发动机和透平压缩机的第一级叶片是由2X13钢和X17H2钢制成的。这种零件的工作温度多在零下，因此就要求这些叶片材料，在温度到-70°C时还具有足够的冲击韧性。在文献[1]上已刊载了2X13钢的冷脆性资料，并着重说明，采用这种钢作为零下温度工作的零件时，必须特别谨慎。

本文是论述热处理对2X13和X17H2钢冷脆性的影响，研究用钢的毛坯尺寸是14×14毫米，其化学成分见表1所载。

表1 化学成分(元素含量)(%)

钢号	C	Si	Mn	S	P	Cr	Ni
2X13	0.21	0.29	0.38	-	-	12.84	0.31
X17H2	0.15	0.23	0.40	0.018	0.033	16.59	1.78

坯料在几种不同的淬火温度下淬油，并回火到不同的硬度(见表2)。

表2

钢号	淬 火		回 火	
	温 度 (°C)	保 温 时 间 (小时)	温 度 (°C)	保 温 时 间 (小时)
2X13	950, 1000, 1050, 1100	0.5	550~680	2
X17H2	950, 1000, 1040	0.5	300, 450, 580, 680	2

2X13钢从950、1000、1050和1100°C淬油后得到的硬度分别为HR_c48、49、53和53。在上述淬火温度下，能保证2X13钢具有规定硬度(H_B286、255、229和207)的回火温度，如表3所示。

表3

淬火温度 (°C)	回火温度(°C)(硬度值为：)			
	H _B 283	H _B 255	H _B 229	H _B 207
950	550	580	600	620
1000	560	580	610	630
1050	560	600	630	650
1100	580	600	650	670

从表3明显地可以看出，为了达到指定的硬度，如淬火温度提高就需要有较高的回火温度。可是对于X17H2钢，由于在450°C回火时具有高硬度的缘故，因此并不存在着这种规律性(图1)，若提高这钢的淬火温度，则回火后硬度也有所提高。还应该指出，在450°C温度回火时，能保证获得最高的硬度，而又不会降低它在20°C时的塑性和冲击韧性。

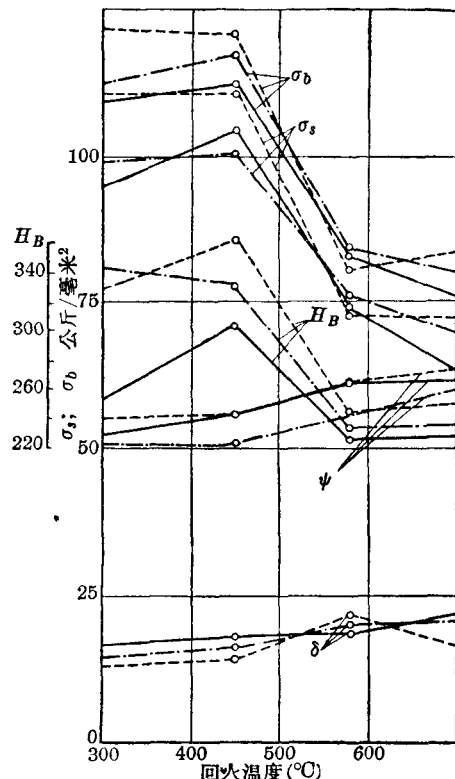


图1 X17H2钢机械性能与淬火温度及回火温度的关系曲线

—— 950°C淬火
- - - - 1000°C淬火
- - - 1040°C淬火

这两种钢的塑性，经过所有的热处理规范试验后，都能满足于所要求的技术条件($\delta \geq 15\%$, $\psi > 50\%$)，只有X17H2钢在1040°C淬火300~450°C回火后，其延伸率为12~14%。

2X13钢经过回火后具有屈氏体-索氏体组织，随着淬火温度的提高，颗粒的弥散度降低了。而在

1050~1100°C淬火的鋼經回火后保持有針狀組織(在針狀馬氏體中發生索氏體轉變)，即使提高回火溫度也不改變其組織的弥散程度。

X17H2鋼的顯微組織是帶有細條狀 α -相夾雜的屈氏體，提高淬火溫度並經相應的回火后，促使 α -相質點增多，而提高回火溫度則會使其繼續集聚。

為了研究熱處理對冷脆性的影响，對2X13鋼在20、-10、-40、-60°C，對X17H2鋼則在20、-40和-70°C進行了衝擊韌性試驗。對同樣規範熱處理的2X13鋼各試驗了7~10個梅氏試樣，對X17H2鋼各試驗了2~3個試樣。

圖2乃示淬火溫度對2X13鋼冷脆性的影响。

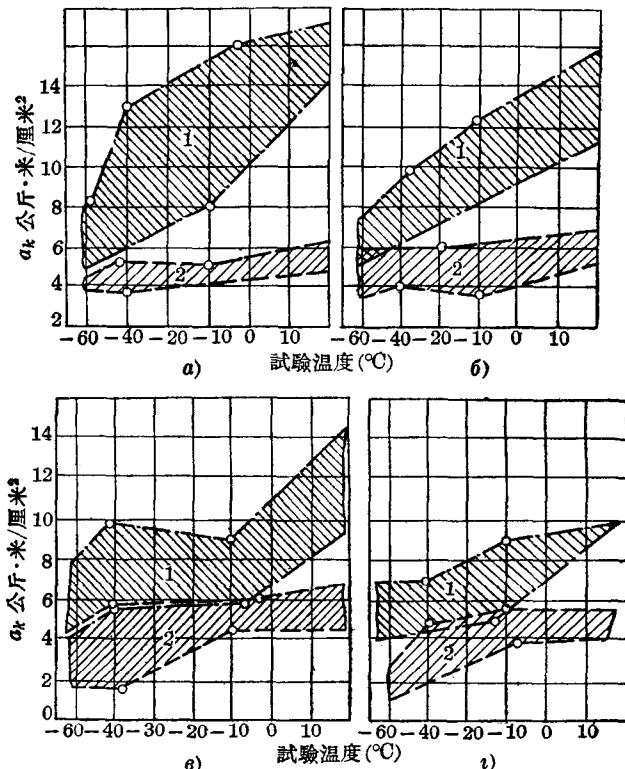


圖2 淬火溫度對2X13鋼冷脆性的影响*

a—950°C淬火；b—1000°C淬火；c—1050°C淬火；d—1100°C淬火；
1—回火后硬度为 H_B 207；2—回火后硬度为 H_B 286

從圖2可以看出，經過950~1000°C淬火並具有硬度為 H_B 286的鋼並沒有顯示出冷脆性，只有在1050~1100°C淬火後才表現出來。衝擊韌性最低值在-40和-60°C時為1.2公斤·米/厘米²，而在20和-10°C時則為3.6公斤·米/厘米²。

當回火後硬度為 H_B 207時，衝擊韌性隨試驗溫度的降低而降低。如試驗的溫度為-60°C時，即使改變其淬火溫度也不影響其衝擊韌性。但試驗溫度為20°C時，衝擊韌性將隨着淬火溫度的升高而略有降低(950°C淬火時14~17公斤·米/厘米²，到1100°C淬火時為10公斤·米/厘米²)。

應該指出，隨着硬度的提高，在所有的淬火溫度下在20°C時的衝擊韌性都會降低，而在硬度為 H_B 286時，在20°C的衝擊韌性接近于-60°C時的數值。

在指定的硬度下，在-10和-40°C時的最低衝擊韌性幾乎和淬火的溫度無關。

在+20和-60°C試驗時，衝擊韌性將隨着淬火溫度的升高而降低(圖3)。

同樣溫度淬火的2X13鋼，在室溫和零下溫度的衝擊韌性隨着回火溫度的升高而提高，例如1050°C淬火580~650°C回火後，在20°C時的衝擊韌性從6提高到13.4公斤·米/厘米²，而在-60°C時的衝擊韌性則從3.9提高到6.5公斤·米/厘米²。

圖4所示為X17H2鋼的衝擊韌性和試驗溫度的關係曲線。從圖中可以看出，經過所有熱處理試

* 原书中横坐标試驗温度未列“-”号，从全文內容來看应是-60，-40，-20，-10，恐系原文印刷錯誤——譯者注

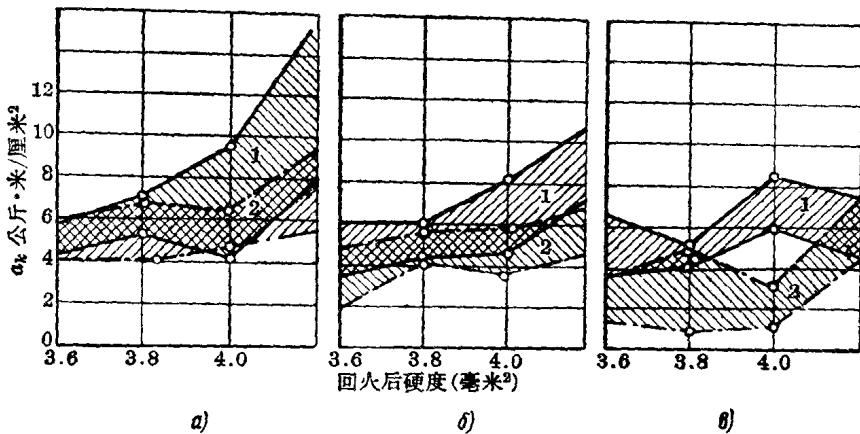


图3 热处理规范对2X13钢在不同的试验温度下冲击韧性的影响

a---10°C; b---40°C; c---60°C;
1---950°C淬火; 2---1100°C淬火

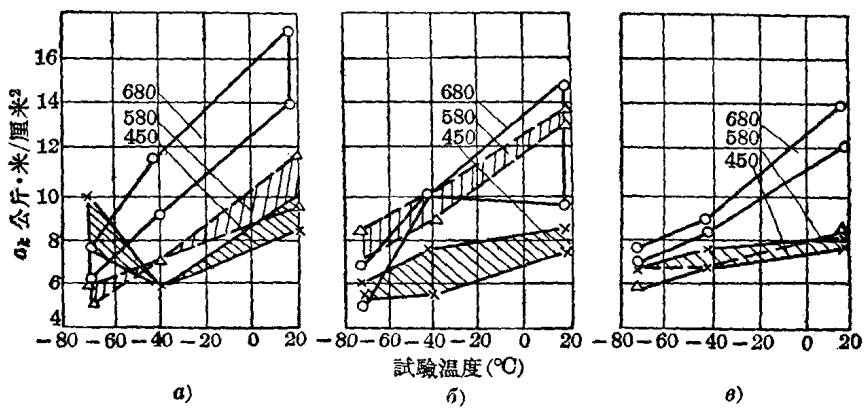


图4 热处理规范对X17H2钢冲击韧性的影响*

a---950°C淬火; b---1000°C淬火; c---1040°C淬火;
曲线上数字表示回火的温度(°C)

驗規範的試樣在-70°C時得到的衝擊韌性值最低(5公斤·米/厘米²)。而這種鋼在各種不同溫度下淬火並低溫回火時，其衝擊韌性對於試驗溫度的敏感性較高溫回火時要小得多。

還可以看出淬火溫度並不影響X17H2鋼的冷脆性。

保證2X13鋼在20~60°C試驗時具有高的衝擊韌性，硬度值不能超過H_B 207。

3. 為了提高耐冷脆穩定性，推薦下列熱處理規範2X13鋼——950~1000°C淬火，回火溫度取決於所要求的機械性能，但不應該低於630°C。X17H2鋼——950~1040°C淬火，回火的溫度從範圍為450~680°C，要取決於所要求的機械性能。

結論

1. 當提高淬火溫度時，2X13鋼的衝擊韌性將降低，而X17H2鋼則沒有這種規律性。

2. 1050~1100°C淬火回火後硬度為H_B 207的2X13鋼，其冷脆性轉折區是在-40~-60°C(a_k=1.2~3.5公斤·米/厘米²)。硬度為H_B 229~363的X17H2鋼在所有規範熱處理後，直到-70°C試驗時，衝擊韌性也能達到5公斤·米/厘米²。為了

[1] Гудков С. П.; Целиков В. К.: Сб. сталей, Металловедение и термообработка, Вып. 1. Металлургиздат.

(王水譯自《Metallovedenie и термообработка》1964年4期
11~14頁 薛宗英校)

* 同圖2脚注。

AK₁(Cr13)鋼脆性的探討

〔捷克斯洛伐克〕 J. Koutský 等

本文研究汽輪机叶片用的 AK₁ 鋼及其脆化，在运行温度下淬火試样的回火和調質，試样的长期退火試驗，冲击韌性以及对发生脆性的原因。

如所熟知，含碳量不超过 0.15% 和含鉻量为 11.5~14.5% 的 AK₁ 鋼 (ČSN 17021)，在低于 450°C 回火时，其机械性能，即强度、硬度和冲击韌性无显著变化。在此温度以上，能使硬度和强度激烈下降，而冲击韌性与淬火状态相比，其降低甚为显著。在 500~600°C 温度范围内，冲击韌性又重新增加。开始时冲击韌性增加得很多，但在接近温度 A_{C1} (亦即低于 800°C) 时，其增加已不显著。因此这种鋼在 400~600°C 的温度范围内，是一个脆性区，在回火时应加以避免，因此一般都规定在 640~700°C 的温度范围内回火。

D. J. Giles 认为这种脆化是由于马氏体的分解和屈氏体的形成所引起的。但这种解释常与下列实际情况相矛盾；化学成分无基本差别的各炉号鋼用完全相同的方法調質，即在相同温度下回火时，有时呈脆性，有时呈韌性，而它们的硬度和强度实际上都相同。假如这一脆性区是与马氏体的分解有关，则上述两种情况下的脆性区应不出现，因为马氏体分解是一个扩散过程；这是由鉻的扩散来进行控制的，而在相同回火温度下，鉻的扩散速度应相同。

Monypenny 在其关于不锈钢的经典著作中指出，可进行淬火处理的鉻鋼仅在含碳量约高于 0.2% 时才有回火脆性，但并非永远如此。我们在实践中曾碰到这样的情况：从回火温度缓慢冷却的 AK₁ 鋼其冲击韌性比快速冷却的同样試样要低。

AK₁ 鋼常用于工作温度为 450~500°C 的汽輪机叶片。因此在运行过程中的脆化倾向常采用所謂“人工时效試驗”的短期試驗来測定。将 12×12 毫米的方柱形試样用规定的方法調質。其中一部分試样进行冲击韌性試驗，另一部分則沿軸向进行塑性变形(截面縮小 10%)，然后重新进行 200~220°C/2 小时/空冷回火，并用它們来进行冲击韌性試驗。将两部分冲击韌性的結果加以比較并确定其脆化倾向。“人工时效”試样的冲击韌性不应低于 5 公斤·

米/厘米²。比尔森列宁工厂金相試驗室几年来的經驗表明，“人工时效”試样的冲击韌性在大多数情况下，都比只經調質的試样低，而且脆化并不隨硬度的增高而增高(表 1)，此外还发现在化学成分和热处理之間及这类試驗結果之間均无单一的关系。

表 1 “人工时效”試驗时，硬度 H_B 的增高
和冲击韌性 R 的降低

試 样 炉 号	硬度 H _B 的增高 (%)	冲击韌性 R 的降低 (%)
E ₃	2	59
F ₉	5	65
A ₃	7	63
K ₃	10	57
A ₂	1	62
K ₆	6	28
155	8	34

由于作者不知道，这种試驗和运行温度下脆化間的关系是否已得到了証实，并且根本不知道这类鋼在运行温度下的脆化动力學，因此，关于是否能根据測得的冲击韌性值之差或根据“人工时效”后的冲击韌性絕對值来正确地判断材料的脆化傾向的問題，是不清楚的。

从上述实例中可以看出，虽然 AK₁ 鋼的生产在世界上已有 40 多年的历史，但是这类鋼在 A_{C1} 以下的温度区域内的脆化問題还有許多是不明确的。因此在更高运行温度下的脆化，实际上是一个重要的問題。

在下列各部分中，总结了以淬火試样回火的方法及以調質試样在运行温度下长期退火(1000小时)所取得的結果。

淬火温度对回火后机械性能的影响

試驗時曾采用下列化學成分的鋼種：

鋼種	化 學 成 分 (%)							
	C	Mn	Si	P	S	Cr	Ni	N
A	0.15	0.36	0.21	0.022	0.013	13.40	0.14	0.026
B	0.07	0.37	0.34	0.024	0.017	13.40	0.31	0.024

試樣採用截面為 32×32 毫米的軋制退火棒材製造。通過淬火試驗後發現，A 鋼經 $950 \sim 1000^\circ\text{C}$ 保溫 2 小時後達到最大硬度值。在含碳量較低的 B 鋼中，其淬火後的最高硬度較 A 鋼低，且在淬火組織中除馬氏體外，還出現 δ -鐵素體。

這些鋼的試樣會從 900°C (組織中有大量鐵素體和未溶碳化物)、 1000°C (據硬度來看，這一淬火溫度已接近最佳值——碳化物已溶解)、 1100°C (高淬火溫度)下淬火。淬火後，試樣可在溫度高达 750°C 以下，保溫 2 小時/空冷回火。

A 鋼的靜態機械性能變化情況，與引言中所述相當。淬火狀態的抗張試驗斷口均呈淡灰色杯狀(圖 1)。這種外觀一直保持到 500°C 。在 600°C 時，則出現暗灰色銑刀狀斷口(圖 2)。經 900°C 淬火的試棒在 700°C 回火後，銑刀狀斷口消失，斷口呈杯狀，但為暗灰色，杯狀口較淬火試棒小，且底部凹凸不平(圖 3)。在 1100°C 淬火時，銑刀狀斷口甚至在最高溫度下回火時也沒有消失。某些情況下所得到的 B 鋼靜態機械性能中，出現了反常現象，這種反常

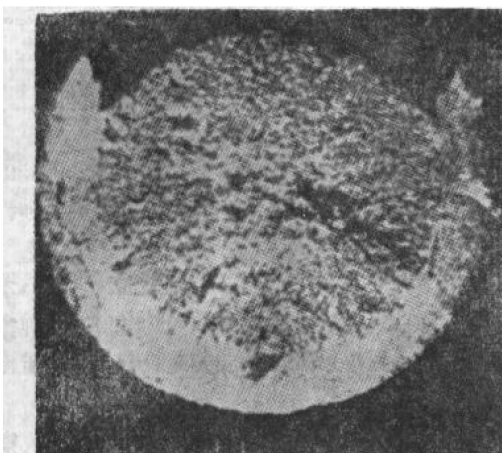


圖 1 抗張試驗斷口，A 鋼， $1000^\circ\text{C}/2$ 小時/油冷， $\times 10$



圖 2 抗張試驗斷口，A 鋼， $1000^\circ\text{C}/2$ 小時/油冷 $- 600^\circ\text{C}/2$ 小時/空冷， $\times 10$



圖 3 抗張試驗斷口，A 鋼， $1000^\circ\text{C}/2$ 小時/油冷 $- 700^\circ\text{C}/2$ 小時/空冷， $\times 10$

現象也反映在斷口的外觀上。其他斷口表面外觀的變化過程則與在 900°C 淬火的 A 鋼的試樣相似。

B 鋼在 500°C 以上的衝擊韌性已上升，但當 1100°C 淬火後， 600°C 下的衝擊韌性值極為分散。低回火溫度時的衝擊韌性試驗斷口具有馬氏體特徵的繩紋狀。從 500°C 開始，在較高回火溫度下，這種斷口轉變成混合式，即由晶狀和暗淡的(韌性)小平面所形成。在抗張試驗時發現的反常現象，都與衝擊韌性數值的變化過程無關。

A 鋼的衝擊韌性與淬火溫度的關係曲線與 B 鋼比較是不相同的。從 1000 和 1100°C 淬火後的試樣衝擊韌性在 $500 \sim 600^\circ\text{C}$ 范圍內出現最低值(圖 4)，直到 650°C 時才開始顯著上升，而在 900°C 淬火後(圖 5)，衝擊韌性從 500°C 已開始增長。在 900°C 淬火的衝擊韌性試驗斷口的外觀變化與 B 鋼相同；

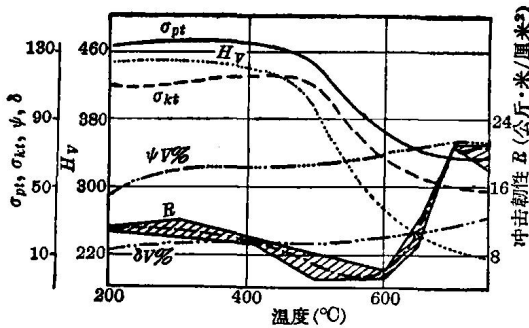


图4 冲击韧性与温度的关系, A钢,
1000°C淬火,回火2小时

注: σ_{pt} — σ_b , σ_{kt} — σ_s ;

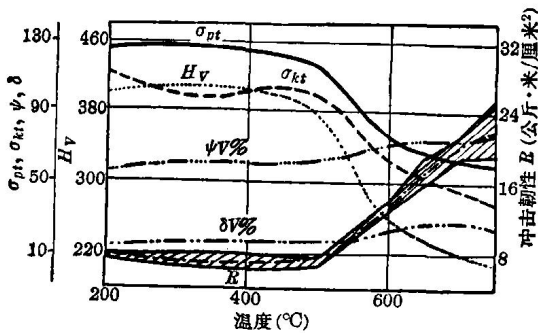


图5 冲击韧性与温度的关系, A钢,
900°C淬火,回火2小时

注: 见上图

在750°C时,为纯韧性断口。从1000~1100°C淬火的试样回火后,断口的马氏体外观能一直保持到400°C(图6)。从这一温度起,断口呈粗晶状。600°C时的晶粒粗大最剧烈,而这种粗大对于在温度更高的情况下淬火的试样来说,其剧烈程度比前者更为强烈(图7)。在第一种情况下,700°C时的断口已呈纯韧性(图8),在第二种情况下,即使在750°C时也不完全呈韧性。

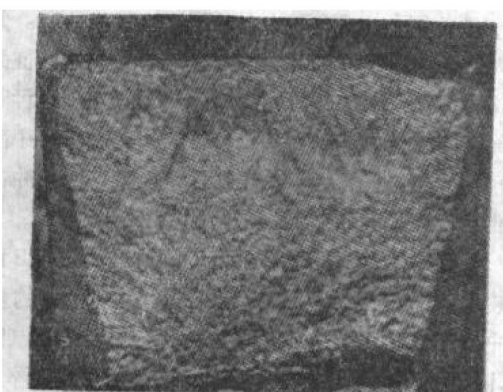


图6 淬火试样回火后之冲击韧性试验断口外观, A钢, 1000°C/2小时/油冷, ×10

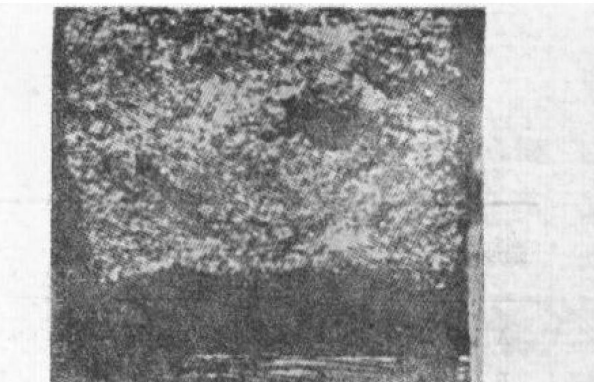


图7 淬火试样回火后之冲击韧性试验
断口外观, A钢, 1100°C/2小时/油冷
-600°C/2小时/空冷, ×10

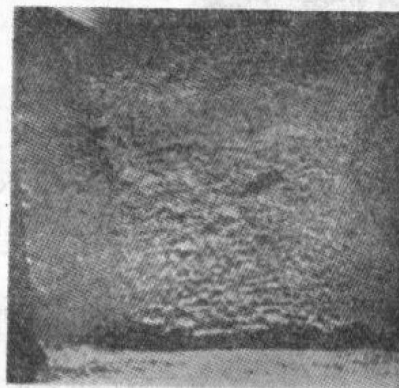


图8 淬火试样回火后之冲击韧性试验
断口外观, A钢, 1000°C/2小时/油冷
-700°C/2小时/空冷, ×10

采用电解法分离出的残余碳化物分析的结果表明,当碳化物中的含铬量增大时,会使硬度、强度及屈服极限相应地降低。关于这类钢在回火时的显微组织的变化已在以前发表的文章中有详细叙述。

长期回火时的机械性能变化

经1000°C/2小时/油冷淬火,并在200、450、550、650和750°C下进行A钢长期试验(1000小时)的结果列于图9。

试样在上述温度下,经不同时间回火后进行空冷。以这些试样进行冲击韧性试验、测量硬度、观察显微组织,并在某些情况下,我们还进行了分离所得的残余物质的X射线衍射分析及定量化学分析。

硬度、碳化物相的成分和(在光学显微镜下观察到的)显微组织在所有温度下都互相连续地变化着,但是冲击韧性除在200°C和部分在750°C以外的其

余温度下，都具有完全互不联系的变化过程。450 和 550°C 时的冲击韧性曲线比经 200°C 回火的试样低。直至 650°C 时，尤其在 4 小时回火后，冲击韧性才显著上升。在 750°C 经较长时间的回火后，冲击韧性反而有少许降低。200°C 时的冲击韧性试验的断口外观不随时间变化。经 450 和 550°C 回火的试样断口为晶状，如图 7。650°C/2 小时回火后，晶状断口转变成混合式；经 16 小时回火后，试样中心部分的晶粒最小，并且其尺寸已不再随时间变化。在 750°C 时，起初断口呈纯韧性，稍后又转变成混合式。

分离物中含 Cr 量的变化与前述部分中的变化相同，并与静态机械性能值的变化成正比。

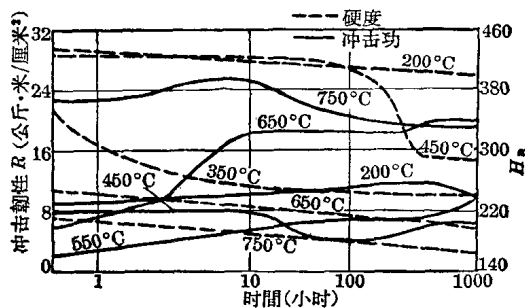


图 9 經 1000°C/2 小时/油冷淬火后，在 200、450、550、650 和 750°C 下进行 A 鋼的 1000 小时长期試驗結果

确定 400~650°C 范围內 脆化可逆性的試驗

可逆性和不可逆性是各脆性状态的重要特性。

作者对 A 鋼进行 1000°C/2 小时/油冷 - 750°C/2 小时/油冷调质，并在淬火试样回火时，出现回火脆性的温度下，重新回火 2 小时。从图 10 可见，在各试验范围内，常温下所测得的冲击韧性数值间基本上无多大差别。这一点可能是由于在 500°C 时出现了不显著的极小值的缘故。由此可见，马氏体的分解是使淬火试样回火时出现脆化区的一个重要因素。

当我们把冲击韧性与冲击温度绘成曲线后，可证实关于临界区间内脆化过程的局部可逆性。这类曲线由两类试样中取得：一为（A 鋼）1000°C/2 小时/油冷 - 750°C/2 小时/油冷调质——即具有粗索氏体组织，一为用相同方法调质，并再进行 500°C/15 小时/空冷退火。后者之转变温度（冲击韧性试验时断口仍呈纯韧性的最低温度）较高（图 11）。

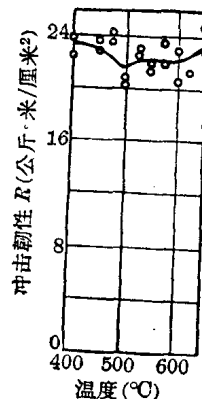


图 10 A 鋼試樣調質結果：1000°C/2 小時/油冷 - 750°C/2 小時/油冷，并在不同溫度下回火 2 小時

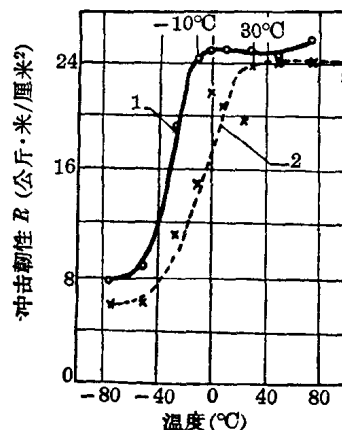


图 11 冲击韧性与冲击温度的关系
A 鋼：曲綫 1—1000°C/油冷 - 750°C/2 小時/空冷。曲綫 2—1000°C/油冷 - 750°C/2 小時/空冷和 500°C/15 小時/空冷

运行温度下調質試样的 机械性能变化

除 A 鋼外，我們还曾采用具有下列化学成分的 C 鋼进行了试验：0.13% C、0.27% Mn、0.18% Si、0.021% P、0.013% S、13.20% Cr、0.19% Ni、0.024% N。在淬火试样组织中，除马氏体外，还存在个别的块状 δ-铁素体。

钢样曾用下列几种规范进行调质：

- (1) 1000°C/2 小时/油冷 - 650°C/2 小时/空冷
 - (2) 950°C/2 小时/油冷 - 650°C/2 小时/空冷
 - (3) 1000°C/2 小时/油冷 - 650°C/20 小时/空冷
 - (4) 1000°C/2 小时/油冷 - 750°C/2 小时/空冷
- 按规范 (1) 法处理的试样在调质后会在 350、

450 和 550°C 下退火至 1000 小时。按规范(2)~(4)处理的試样調质后仅在 450°C 退火。

試样从退火温度进行空冷。机械性能，亦即冲击韧性和硬度，以及碳化物相的含 Cr 量的試驗結果列于图 12~16 中。按规范(1)处理后，未曾得到常温冲击时冲击韧性的純韧牲断口。冲击韧牲值在 CSN 标准规定的最小值界限（8 公斤·米/厘米²）上波动。也就是说，試样在这种热处理后，还处于很大的脆性状态。根据前述的长期回火試驗結果，这些本是預料之中的事。然而，450°C 下的长期退火还会使冲击韧牲略有降低，这在 C 鋼中尤其如此（图 13）。这正是冲击韧牲試驗中混合式断口經长期退火后轉变成純晶状断口的原因。

550°C 时的退火使最小冲击韧牲值区域向較短的退火时间移动；經 700 和 1000 小时退火后，冲击韧牲已开始显著上升。除在 550°C 时的最长时间退火后硬度稍有降低外，其他温度下的硬度基本上是不受时间的影响而变化。

通过降低淬火温度（规范(2)），我們在調质后

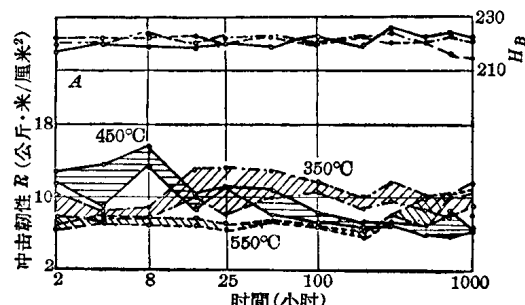


图 12 C 鋼的冲击韧性和硬度：1000°C/2 小时/油冷 – 650°C/2 小时/空冷并重新进行 350、450、550°C 退火

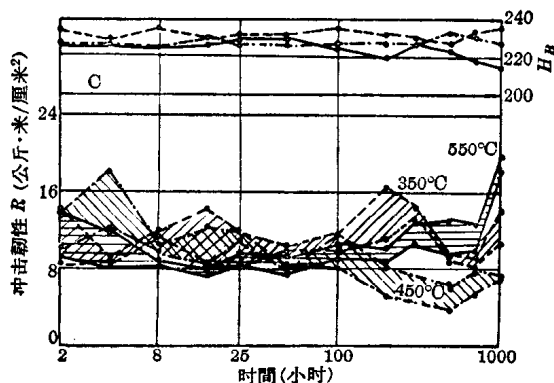


图 13 C 鋼的冲击韧性和硬度：1000°C/2 小时/油冷 – 650°C/2 小时/空冷并重新进行 350、450、550°C 退火

得到了比前述情况下高得多的冲击韧牲值（图 14）。在冲击韧牲試驗的断口上，仅有狭条状的晶状断口，而其余表面上为韧牲断口。但經 450°C/16 小时退火后，冲击韧牲开始激剧下降，經 50 小时后，达最低值，并且在 50~1000 小时間，仍保持同样低的水平上。自然，这种变化可以在冲击韧牲試驗断口的外观上反映出来，此时，断口表面上晶状断口所占的面积有所增大。硬度与脆化作用无关。

通过延长回火时间（规范(3)），我們可在調质后得到高冲击韧牲值——冲击韧牲試驗的断口呈純韧牲状。在 450°C 下继续进行退火时，退火时间一直到 50 小时，甚至到 100 小时后，冲击韧牲的降低才会出现。500 小时退火后，冲击韧牲值达极小值。此值較前述情况下的最小冲击韧牲值为高（图 15）。冲击韧牲的变化既不会体现在硬度的变化上，也不会体现在碳化物相成分的变化上。

从 1000°C 淬火的試样經 750°C/2 小时/空冷（规范(4)）回火后，我們也可使冲击韧牲試樣得到完全韧牲状态。但继续在 450°C 温度下退火后，冲击韧牲不会有任何单一性的降低。在继续退火后冲击韧牲值的分布范围較广（图 16）。

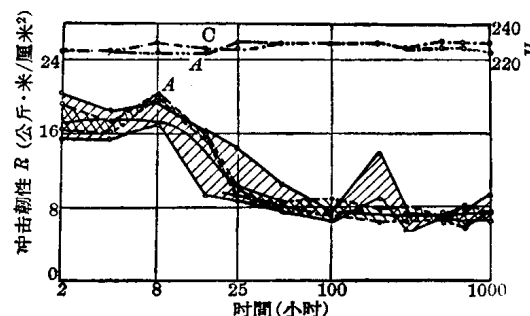


图 14 C 鋼的冲击韧性和硬度：950°C/油冷 – 650°C/2 小时/空冷并重新进行 450°C 退火

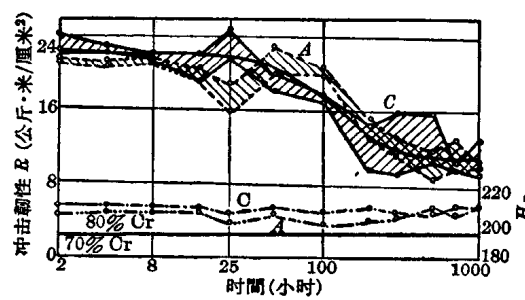


图 15 C 鋼的冲击韧性和硬度：1000°C/2 小时/油冷 – 650°C/20 小时/空冷并重新进行 450°C 退火

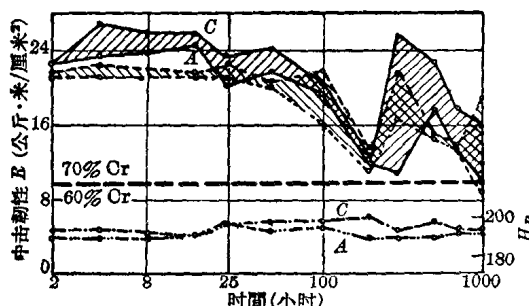


图 16 C 钢的冲击韧性和硬度: 1000°C / 2 小时 / 油冷 - 750°C / 2 小时 / 空冷并重新进行 450°C 退火

按规范(2)和(3)法进行热处理的試样采用苦味酸甲醇溶液腐蝕。在光学显微鏡下，韌性試样和脆性試样間在顯微組織上未发现有不同。顯微組織為索氏体，在上述两种情况下的原始奧氏体晶粒边界上，可以看到細的沉淀物。

識別結構鋼回火脆性的金相法，常采用具有表面活化物质的腐蝕剂。我們一方面采用了加入阿謝丁(Ajatin———一种表面活化剂)的苦味酸乙二醇溶液，一面又采用了苦味酸的飽和水溶液。但是这两种腐蝕剂对試样均不起作用。也可用电解质腐蝕剂使脆性試样晶粒边界显著腐蝕。作者采用了草酸作为电解质，但是韌性和脆性試样的顯微組織間无任何区别。脆化試样的晶粒边界未遭腐蝕。

“人工时效”試驗与运行温度下脆化間的关系

如果将 950°C 淬火、650°C / 2 小时 / 空冷回火及 450°C 退火的試样的脆化傾向程度(SNK)以图 14 来表示：以 450°C 下退火 8 小时的冲击韌性平均值作为原始状态，并以 50~100 小时的冲击韌性平均值作为脆性状态，则可得到下列結果：

$$A \text{ 钢: } SNK\% = \frac{R_1 - R_2}{R_1} \cdot 100\% = \frac{17.9 - 8.1}{17.9} = 55\%$$

$$C \text{ 钢: } SNK\% = \frac{18 - 7.3}{18} \cdot 100\% = 60\%$$

对于从 1000°C 淬火和 650°C / 2 小时 / 空冷回火的鋼样也采用了类似的方法。 R_1 值以 2~50 小时的冲击韌性平均值代入， R_2 值以 300~1000 小时的冲击韌性平均值代入。

試样經 1000°C 淬火和 750°C / 2 小时 / 空冷回火后，在 450°C 下进行較長時間退火时，冲击韌性值的范围极宽，此时， R_1 以 2~50 小时的冲击韌性平均

值代入， R_2 以 450°C 下 200 小时退火后測得的冲击韌性代入。对于經各种热处理的試样，作者还进行了“人工时效”試驗，并将这种方法測得的 SNK 与上述方法測得的 SNK 值进行了比較。其結果列于表 2 中。“人工时效”时的冲击韌性最小值較 450°C 下长期退火时高，而 SNK 則較后者低。虽然如此，如果在 450°C 时进行各种規范的热处理后結果較差，则“人工时效”方法时的結果也較差。

表 2 A 和 C 钢按不同方法热处理后的冲击韌性和 SNK (%)

热处理方法	鋼	冲击韌性平均值		450°C 时的脆化 SNK (%)	人工时效	
		R_1	R_2		时效后的 R 值	SNK (%)
950°C / 油冷 -	A	18	7.3	5.5	60	11.5
650°C / 2 小时 / 空冷	C	17.9	8.1	5.5	55	10.4
1000°C / 油冷 -	A	23.8	12.8	8.8	40	17.6
750°C / 2 小时 / 空冷	C	21.4	12.2	9.8	48.3	21.2
1000°C / 油冷 -	A	20.7	11	8.6	43.5	15.1
650°C / 20 小时 / 空冷	C	21.9	11.6	9	48	18.5
						13
						16

450°C 时的脆化和“人工时效”試驗的关系也可从图 17 中得到証实。图中的曲綫 A 表示經 1000°C / 油冷 - 650°C / 4~8~25 小时热处理后，在常温下測得的冲击韌性；曲綫 A' 为“人工时效”前，經上述同样方法热处理的冲击韌性。曲綫 B 和 B' 为硬度的变化。

因此，采用“人工时效”試驗来鉴别材料的脆化，是較为有利的办法。但其結果往往在很大程度上取

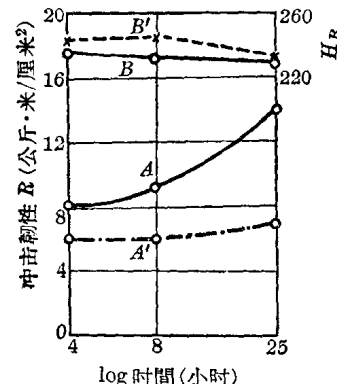


图 17 长期退火后的脆化与“人工时效”后的脆化間的关系

A — 1000°C / 油冷 - 650°C / 4~8~25 小时热处理后的冲击韌性；
A' — 經上述热处理和“人工时效”后的冲击韌性； B 和 B' — 硬度 H_B

決于這一試驗所進行的方式，從變形時的材料塑性流變來看，尤其是與缺口的位置有關。也就是說，僅可將上述方法看作參考性試驗，並優先採用脆化狀態下測得的絕對值 R 。

從取得不同脆化潛伏期的角度來看，採用其他短期試驗（例如 $500^{\circ}\text{C}/15$ 小時/空冷調質）是不適宜的。

結果分析

1. 淬火試樣回火時產生的脆性分界線是兩種同時進行或僅具少許相位差的轉變過程的結果。第一種過程是由於馬氏體的分解而產生的碳化物的析出和聚集，當然，這種碳化物的析出和聚集不僅影響動態機械性能，而且也影響靜態機械性能（硬度、強度）。其動力學在各種爐號間，無基本差別，因此，溫度區間一般上不顯示出來。這是一種不可逆過程，因為其效應不會在調質狀態下出現；其作用在淬火鋼回火時，極強烈，往往使第二種過程的作用被掩蓋掉。

回火試樣脆化的第二個過程的主要特點是，它們的影響僅在衝擊韌性試驗中才表現出來。這是一個可逆過程。因為調質試樣經 450°C 長期退火時的脆化均具有相同的特徵，所以作者認為兩種情況下的脆化過程的本質相同。確定第二個脆化過程的原理是一個複雜的問題。

當然，如所熟知，鐵素體和半鐵素體高鉻鋼都有脆性傾向，根據其所得最明顯的溫度，稱為“ 475°C 脆性”。直到 1956 年 R. Pospíšil 才在他的專題論文中提出了關於其本質的特徵和各種見解的概況。機械性能方面脆化的特徵表現為：硬度、強度和屈服極限的上升及延伸率、斷面收縮率和衝擊韌性的降低。近年來，曾發表了解釋這種脆化本質的著作。其共同特點是認為：在鐵素體晶內進行的各種過程對晶粒邊界所進行的各種過程有害。R. O. Williams 和 H. W. Paxton 認為在這些溫度下，會從鐵素

體固溶體中析出高鉻量的微粒，這些微粒並不失去其與基體固溶體間的共格性。也許可以引用一下 Ed. Houdremont 在討論 W. Köster 和 A. V. Kienlin 觀點時的一句話：“雖然關於鐵鉻合金的脆化至今還未定論，但是，關於這一現象至少基本上已得到了明確”。

下列事實不允許我們將 AK_1 鋼的脆化與鐵素體鉻鋼的脆性聯繫起來：我們所採用的是索氏體鋼，無 δ -鐵素體或僅含少量 δ -鐵素體，即在固溶體內具有低得多的含 Cr 量。這種發現正說明了脆化並不和硬度的變化一起產生。

因此，從特徵上來講，第二種脆化過程似乎接近結構鋼的“回火脆性”，雖然這裡是有些不同的。但是，因為回火脆性的實質至今還不清楚，關於回火脆性的現象已知道了 50 多年，但是目前還不能對我們觀點的正確性加以証實。

我們曾在文章中提出， 550°C 時的析出過程會使 AK_1 鋼中出現針狀相，在結晶學上認為是氮化物。為了証實析出過程是否與這些鋼的脆化相符，還需進行許多工作。

2. 對調質試樣在 450°C 時脆化的動力學的確定，具有實際意義。除去極個別的情況外，汽輪機設計師所要求的衝擊韌性在脆性狀態下從未降至 4 公斤·米/厘米² 以下。常溫下對衝擊韌性的測定對衝擊韌性本身來說，條件最差，而材料根本不可能在這種條件下運行，因為這些材料大多數在較高的溫度下工作，而高溫時的衝擊功是較高的。根據這些結果，就沒有理由把經鍛壓加工的 AK_1 鋼的脆化認作為危險的現象。

因為在長期退火後的脆性狀態下，其衝擊韌性值最低，所以將 AK_1 鋼回火到尽可能低的硬度，即回火到極粗索氏體組織是適宜的。

（郭本煌譯自《Hutnické listy》1961年

16 卷 2 期 129~135 页 赵鄂官校）

3X13 鋼制螺旋彈簧

[苏联] A. Л. Селяво 等

前 言

在文献[1~3]中, 对 3X13 鋼的坯料及零件, 推荐采用各种温度的热处理规范, 淬火温度为 980~1050°C, 回火温度为 150~300°C。但是, 文中还没有说明这种鋼在制造弹簧时的热处理规范。

作者用电炉鋼厂《Электросталь》出品的, 直径为 16~25 毫米 3X13 鋼(0.26~0.31% C, 12.05~13% Cr)軋制的棒料制成标准試棒进行机械性能試驗, 并按常规方法^[4]测定其物理性能。

运用了文献[5]所記載的分析解离碳化物方法、X光结构分析仪、金相分析仪、电子显微镜分析和物理方法, 来研究鋼中相的組成和組織轉变。同时采用了下列方法对弹簧进行了松弛应力試驗: 将弹簧($D_{平均} = 20$ 及 22 毫米, $d = 2$ 毫米, $t = 8$ 及 6 毫米, $H = 53$ 毫米, $n = 10$ 及 8)用强力的夹具压制着, 然

后放在試驗溫度中。由于夹具的强压力, 弹簧在試驗时都留下了永久变形。

弹簧应在初应力比鋼比例极限的松弛应力低的条件下进行試驗。否则就会处在塑性变形的作用下。經過放置 t 小时后, 按文献[6]上刊載的方法来測定弹簧的残余应力 τ_t 。

試驗結果

淬火溫度对鋼的組織和机械性能的影响

淬火的加热溫度及冷却介质显著地影响鋼的强度性能及冲击韌性(表 1)。表 1 的数据表明, 淬火溫度从 950°C 提高到 1050°C, 随着拉伸时强度性能(σ_b , $\sigma_{0.2}$, s_k)提高的同时, 还提高了在油中淬火鋼的冲击韌性——从 4 提高到 5.5 公斤·米/厘米²; 但是在空气中淬火的試样, 却从 4.3 降为 2.7 公斤·米/厘米²。

表 1 3X13 鋼机械性能和淬火溫度及冷却介质的关系

淬 火		回 火		σ_b	$\sigma_{0.2}$	σ_p	s_k	δ	ψ	a_k
溫 度 (°C)	冷却介质	溫 度 (°C)	保溫時間 (小时)	公斤/毫米 ²				%		公斤·米/ 厘米 ²
950	油	400	2	148	130	122	210	12.5	48	4.0
	空 气			144	129	120	210	11.5	48	4.3
1000	油	400	2	170	136	120	255	13.5	50	4.3
	空 气			171	143	126	250	14	49	4.5
1050	油	400	1	172	140	120	280	15	56	5.5
	油		2	170	139	120	280	14	57	5.5
	油		5	172	144	123	280	15.5	54	6.0
	空 气	400	1	175	139	118	280	15	54	1.3
	空 气		2	173	140	118	280	14	53	2.7
	空 气		5	174	141	117	275	13	51	3.5

由此表可见, 在 1050°C 淬火油冷时, 鋼具有最好强度和冲击韌性的配合。以下的試驗均采用这一淬火規范。

淬火后試样的碳化物分析表明: 若将試样放在

盐浴中, 于 1050°C 时加热 10 分钟还不足以将鎳碳化物完全溶解。在这样的淬火条件下, 淬过火的鋼中保留着未溶的鎳碳化物即呈立方晶格的 $(\text{Cr}, \text{Fe})_{23}\text{C}_6$, 还有三斜晶格的 $(\text{Cr}, \text{Fe})_3\text{C}_6$ 。它表明在

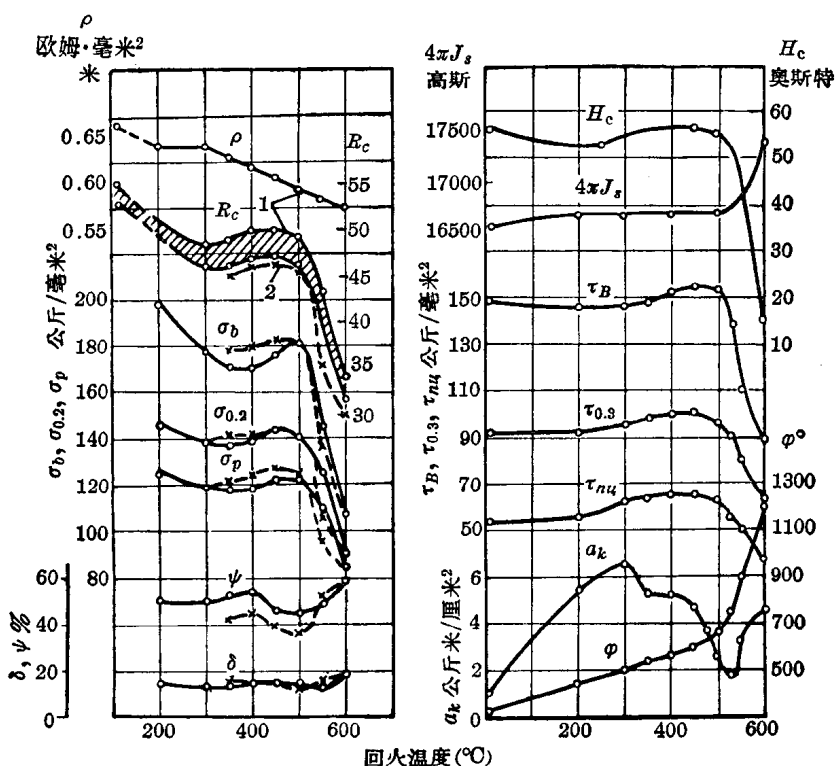


图 1 3X13 钢物理机械性能与回火温度的关系

1—从1050°C淬火油冷，回火1小时，空气中冷却；
2—同上，然后再在400°C时效300小时，空气中冷却

碳化物相中还含有铁。淬火温度从950°C提高到1050°C对钢在300°C和350°C时的抗松弛性实际上并不影响。

回火对钢的组织和物理机械性能的影响

回火温度对钢的组织和性能的影响是将试样经1050°C淬火(油冷)，并回火1小时(空冷)进行试验的。回火后相和组织的分析资料，以及物理-机械试验数据列于图1~4上。

回火温度提高到500°C时，仍保持马氏体组织，并带有少量残余奥氏体和淬火时未溶的铬碳化物。

在低于500°C时回火后，从马氏体中析出了相当数量的富铬渗碳体型碳化物($(Fe, Cr)_3C$)，C(参看图2,a)，所得的数据与文献[7~10]上的结果相同。随着这些富铬碳化物的析出，其抗松弛性也有增加，从图2曲线还可以看出在450~500°C时回火，渗碳体型碳化物析出的数量最多，如继续提高回火温度，它的数量反而减少。而在温度超过470°C时，在 α 固溶体内还析出三斜晶格的铬碳化物($(Cr, Fe)_7C_3$)，因而使钢有二次硬化的现象。

用电子显微镜观察得出(图3及图5)，渗碳体

型碳化物是以弥散的，厚度小于 10^{-5} 毫米的小薄片形式析出。

在500°C和高于500°C的回火中，3X13钢中残余的奥氏体发生了分解(图1)。由于组织起了变化，使钢发生剧烈的软化。当回火温度超过550°C，剧

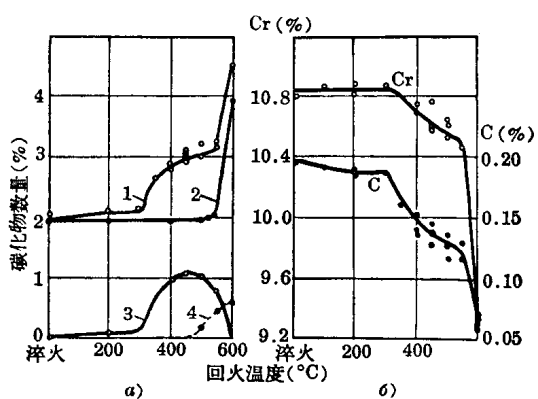


图2 回火温度与3X13钢内碳化物相数量的关系(a)，以及与固溶体内碳和铬含量的关系(b)

1—碳化物总量； 2— $(Cr, Fe)_{23}C_6$ ；
3— $(Fe, Cr)_3C$ ； 4— $(Cr, Fe)_7C_3$ (从1050°C淬火油冷，回火1小时，空气中冷却)

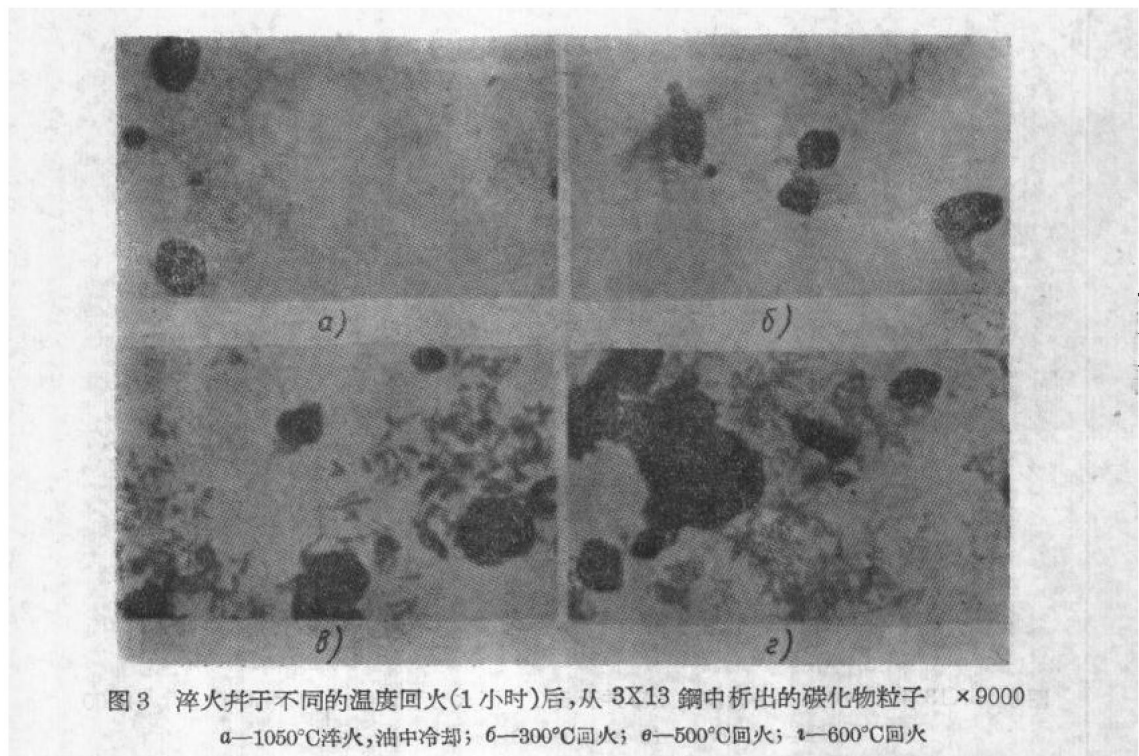


图3 淬火并于不同的温度回火(1小时)后,从3X13钢中析出的碳化物粒子 $\times 9000$
 a—1050°C淬火,油中冷却; b—300°C回火; c—500°C回火; d—600°C回火

烈地析出了立方晶格的铬碳化物 $(\text{Cr}, \text{Fe})_{23}\text{C}_6$, 这样就使固溶体中碳和铬的浓度急剧地减低(图2,d)。随着渗碳体型碳化物数量的增多, 以及 α 固溶体中碳和铬浓度的减低, 使钢的抗松弛性提高(图4)。

試驗表明, 經過450°C和500°C回火后, 可以相應地获得在300°C和350°C时的最大松弛应力。

根据已得的数据可以得出結論, 回火时渗碳体是影响着钢强度的主要碳化物相。特殊的铬碳化物, 在这方面只有次要的意义, 仅当高温回火时, 渗碳体溶入 α 固溶体中而不再起强化相效果时, 才能起作用。

看来, 由于弥散铬碳化物的析出, 引起了钢在475~550°C回火时的回火脆性。

在450°C时回火, 回火时间对机械性能影响的試驗結果表明(表2), 保温15分钟的钢获得的冲击韧性和抗松弛性較高(抗松弛性是根据 $\tau_0 = 40$ 公斤/毫米 2 ; 并在350°C时保温100小时后 τ_0 的值来确定的)。但是更稳定的硬度值、冲击韧性值和抗松弛性, 只有在回火1个小时后, 才能得到。如将回火时间繼續增加到1~5小时, 钢的性能实际上不再改变。

500°C时回火的試驗表明(表3, 图5), 在这温度时, 渗碳体是不够稳定的。

保温10小时后, 渗碳体开始溶解, 保温100小

时后, 它的颗粒完全弥散, 在X光照片上可看出渗碳体的线条已完全消失。

試驗表明这种钢在淬火回火后, 如长时期地使用, 在温度400°C时, 钢的組織也是相当稳定, 这已被下列試驗所証实: 即以350~600°C回火1小时后, 并在400°C时, 补充300小时的时效, 钢的机械性能实际上不再起变化(參看图1)。

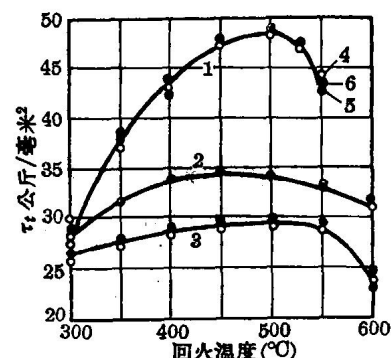


图4 3X13钢松弛稳定性与回火温度的关系

- 1—350°C; 300 小时; $\tau_0 = 55$ 公斤/毫米 2 ;
- 2—300°C; 100 小时; $\tau_0 = 35$ 公斤/毫米 2 ;
- 预压 300°C; 30 分钟; $\tau = 40$ 公斤/毫米 2 ;
- 3—350°C; 100 小时; $\tau_0 = 30$ 公斤/毫米 2 ;
- 预压 350°C; 30 分钟; $\tau = 35$ 公斤/毫米 2 ;
- 4—1050°C淬火油冷;
- 5—1000°C淬火油冷;
- 6—950°C淬火油冷

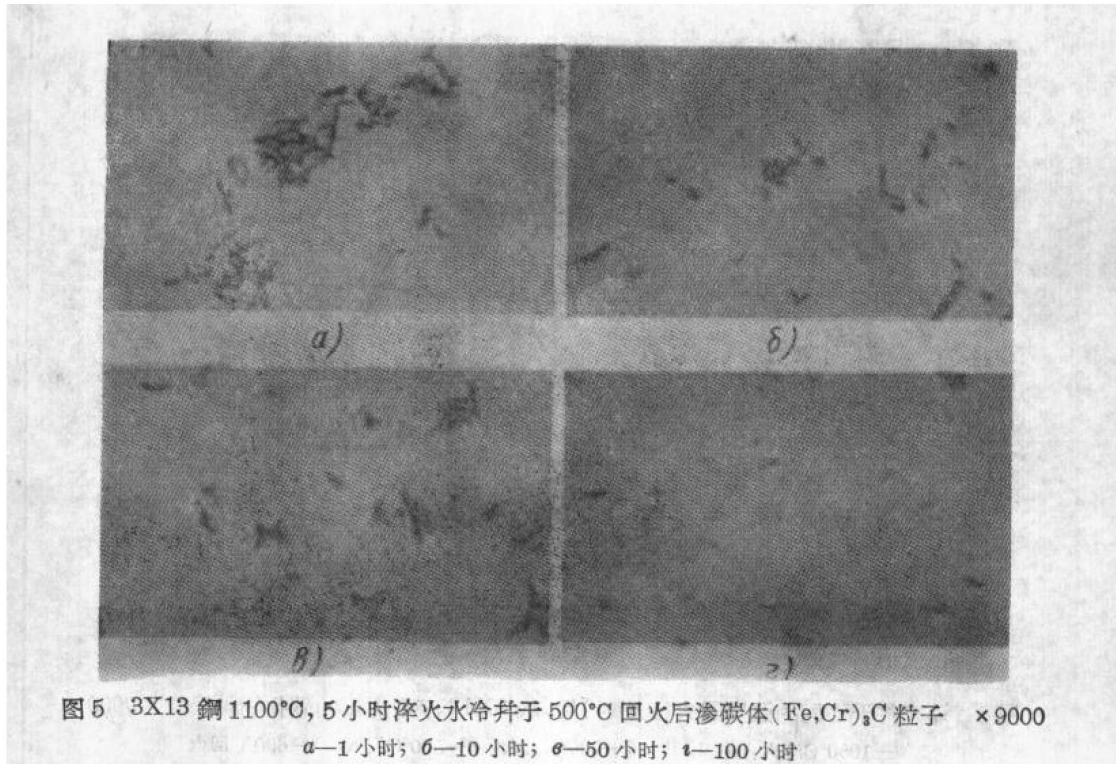


图 5 3X13 钢 1100°C, 5 小时淬火水冷并于 500°C 回火后渗碳体 $(\text{Fe}, \text{Cr})_3\text{C}$ 粒子 $\times 9000$
a—1 小时; b—10 小时; c—50 小时; d—100 小时

表 2 3X13 钢机械性能与 450°C 回火时间
的关系(淬火 1050°C 油冷)

結論

回火时间	H_{so}	a_k (公斤·米/ 厘米 ²)	弹簧经 100 小时的压缩 后相对变形 量(%)
淬火后	55	0.7	20
15 分钟	46	5.0	4.5
30 分钟	44	5.45	4.2
1 小时	44	5.7	3.6
3 小时	—	—	3.5
5 小时	44	6.0	3.5

表 3 3X13 钢碳化物沉淀与回火时间
关系的相分析

	碳化物中元素含量 (对于溶解了的金属重量)(%)		
	Fe	Cr	碳化物沉淀物的 X光结构分析
淬火, 1100°C, 5 小时, 水冷	0.11	0.03	极微弱的线, 不能辨认
淬火 + 回火, 500°C, 1 小时, 空气中冷却	1.25	0.28	$(\text{Fe}, \text{Cr})_3\text{C}$
同上, 回火 10 小时	1.30	0.40	同上, 线模糊
同上, 回火 50 小时	1.30	0.61	同上
同上, 回火 100 小时	0.80	1.37	线消失

1. 試驗證明, 淬硬的 3X13 钢在 300~500°C 温度范围内回火, 使 α 相(马氏体)分解, 使铬碳化物 $(\text{Fe}, \text{Cr})_3\text{C}$ 以厚度小于 10^{-5} 毫米的薄片形式弥散析出。

回火时(在 470°C 或高于 470°C 时) 铬碳化物 $(\text{Cr}, \text{Fe})_3\text{C}$ 的析出加强了钢的弥散硬化过程, 而使钢有二次硬化的现象。

2. 3X13 钢在 475~550°C 的回火脆性, 看来是由于弥散地析出铬碳化物 $(\text{Cr}, \text{Fe})_3\text{C}$ 的緣故。

3. 試驗證明, 保証 3X13 钢最高抗松弛性的回火温度取决于松弛試驗温度。松弛試驗温度若从 300°C 提高到 350°C, 則最适宜的回火温度是从 450°C 提高到 500°C。

4. 铬钢 3X13 的最大抗松弛性是与固溶体和渗碳体 $(\text{Fe}, \text{Cr})_3\text{C}$ 的热稳定性相对的, 也就是与其組織状态有关。看来主要是取决于起着阻碍位錯运动的障碍物作用的 α 相相界面和碳化物的弥散颗粒的总分布情况。

5. 3X13 钢制的圆柱形螺旋压缩弹簧, 最适宜的热处理规范推荐如下:

淬火 从 1000°C~1050°C 油冷,

(下轉第 22 頁)